

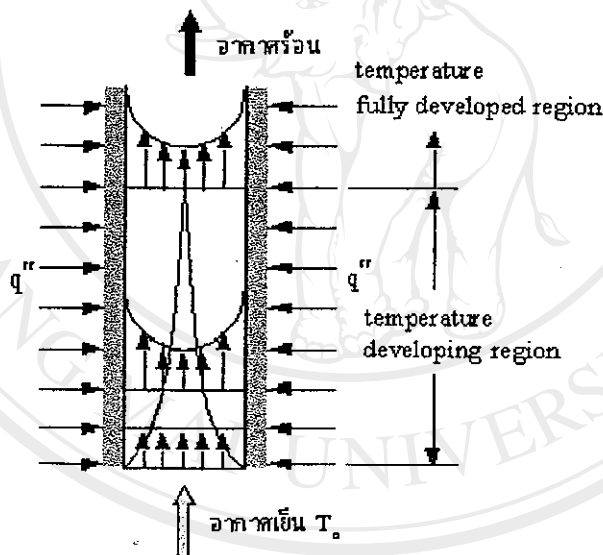
## บทที่ 2

### หลักการและทฤษฎี

#### 2.1 ทฤษฎีของการพาความร้อนโดยวิธีธรรมชาติ

##### 2.1.1 การพาความร้อนในท่อแบบแผ่นขนาน

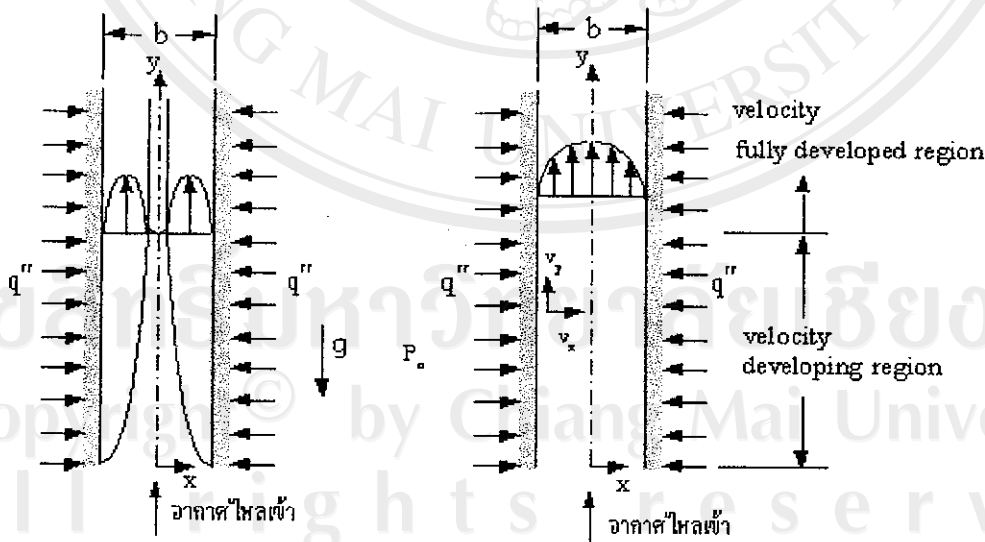
การไหลแบบการพาความร้อนโดยวิธีธรรมชาติในท่อแบบแผ่นขนานเกิดขึ้นเนื่องจากผลของแรงลอยตัวซึ่งมีสาเหตุมาจากความแตกต่างของความหนาแน่นในชั้นของของไหลที่อยู่ในสนามความโน้มถ่วง โดยที่การเปลี่ยนแปลงของอุณหภูมิทำให้เกิดการเปลี่ยนแปลงของความหนาแน่นในเนื้อของของไหล เมื่อของไหลในท่อได้รับความร้อนแล้วลอยตัวสูงขึ้นจะเหนี่ยวนำให้ของไหลภายนอกไหลเข้าทางด้านล่างท่อ สำหรับการศึกษาวิจัยนี้ของไหลคืออากาศ



รูปที่ 2.1 ลักษณะการกระจายอุณหภูมิ (Temperature profile) กรณีการพาความร้อนโดยวิธีธรรมชาติในท่อแบบแผ่นขนาน

เมื่ออากาศไหลเข้าท่อจะได้รับอิทธิพลของความร้อนจากผนังท่อ ซึ่งจะทำให้อุณหภูมิของอากาศที่ไหลเข้าท่อเกิดการเปลี่ยนแปลง โดยที่อากาศที่อยู่ใกล้ผนังท่อจะได้รับอิทธิพลของความร้อนจากผนังท่อเร็วกว่าอากาศที่อยู่ห่างออกไปจากผนังท่อ ซึ่งเรียกขอบเขตชั้นการไหลที่ได้รับอิทธิพลของความร้อนจากผนังท่อว่าขอบเขตชั้นการไหลของความร้อน (Thermal boundary layer) โดยอากาศที่อยู่ติดผนังท่อจะมีอุณหภูมิเท่ากับผนังท่อ และอากาศในชั้นที่อยู่ห่างจากผนังท่อ

ออกไปจะมีอุณหภูมิแตกต่างกัน ณ บริเวณที่ความร้อนจากผนังท่อทั้งสองด้านถูกส่งถ่ายไปสู่ชั้นของอากาศที่ไหลเข้ามาในท่อ โดยที่ขอบเขตชั้นการไหลของความร้อนยังไม่บรรจบกัน จะเรียกการไหลในช่วงนี้ว่าบริเวณการไหลแบบพัฒนาอุณหภูมิ (Temperature developing region) และบริเวณของการไหลที่อยู่ถัดไปตามความสูงของท่อ โดยที่ขอบเขตชั้นการไหลของความร้อนบรรจบกันแล้ว จะเรียกว่าบริเวณการไหลแบบพัฒนาอุณหภูมิแล้ว (Temperature fully developed region) หรือบริเวณที่  $\frac{\partial}{\partial y} \left( \frac{T_w - T}{T_w - T_B} \right) = 0$  ดังรูปที่ 2.1 ในกรณีที่ขอบเขตชั้นการไหลของความร้อนของผนังท่อทั้งสองด้านไม่บรรจบกัน แรงขับเคลื่อนการไหลไปตามผนังท่อแต่ละด้านพิจารณาเป็นกระแสของผนัง (Wall jet) ซึ่งจะไม่มีการกระทบต่อกันระหว่างผนังท่อทั้งสองด้าน แต่ถ้าขอบเขตชั้นการไหลของความร้อนของผนังท่อทั้งสองด้านบรรจบกันกระแสของผนังทั้งสองอันรวมเป็นกระแสลอยตัว (Buoyant stream) อันเดียว ดังรูปที่ 2.2 สำหรับการกระจายของความเร็วในท่อ ช่วงที่อิทธิพลของความหนืดจากการไหลผ่านผนังท่อทั้งสองด้านส่งผลไปสู่อากาศที่ไหลเข้ามาในท่อ ซึ่งทำให้เกิดขอบเขตชั้นการไหลของความเร็ว (Velocity boundary layer) โดยถ้าขอบเขตชั้นการไหลของความเร็วยังไม่บรรจบกันเรียกว่าบริเวณการไหลแบบพัฒนาความเร็ว (Velocity developing region) และช่วงที่อยู่ถัดไปจากบริเวณนี้ตามความสูงของท่อ ซึ่งขอบเขตชั้นการไหลของความเร็วบรรจบกันแล้วหรือ  $\frac{\partial v_y}{\partial y} = 0$  เรียกว่าบริเวณการไหลแบบพัฒนาความเร็วแล้ว (Velocity fully developed region)



รูปที่ 2.2 การพาโดยธรรมชาติในท่อแบบแผ่นขนาน

รูปที่ 2.2 แสดงการไหลของอากาศผ่านท่อซึ่งชั้นของอากาศที่  $(-b/2) < x < (-b/2)^+$  และ  $(b/2)^- < x < (b/2)$  อากาศอยู่ติดผนังท่อและไม่มีการเคลื่อนที่ การถ่ายเทความร้อนจากผนังท่อไปสู่อากาศที่อยู่ติดผนังท่อจะเกิดขึ้นโดยการนำความร้อน ซึ่งแสดงเป็นสมการความสัมพันธ์ระหว่างฟลักซ์ความร้อน  $q''$  ค่าการนำความร้อน  $k$  และอุณหภูมิ  $T$  ได้ดังนี้

$$q'' = -k \left( \frac{\partial T}{\partial x} \right)_{\text{ที่ผนังท่อ}} \quad (2.1)$$

ความร้อนที่ปล่อยจากผนังท่อไปสู่ชั้นอากาศที่อยู่ติดผนังท่อจะมีปริมาณเท่ากับความร้อนที่ถูกถ่ายเทโดยการพาความร้อนของอากาศในท่อ

$$q'' = h(T_{wa} - T_0) \quad (2.2)$$

โดยที่  $h$  คือ สัมประสิทธิ์การถ่ายเทความร้อน

$T_{wa}$  คือ อุณหภูมิเฉลี่ยที่ผนังท่อ

$T_0$  คือ อุณหภูมิของอากาศก่อนเข้าท่อ

### 2.1.2 การวิเคราะห์ความสามารถในการถ่ายเทความร้อน

สำหรับการพิจารณาความสามารถในการถ่ายเทความร้อนโดยวิธีธรรมชาติจากท่อแบบแผ่นขนาน สามารถพิจารณาได้จากค่าสัมประสิทธิ์การถ่ายเทความร้อนเฉลี่ย ( $h_c$ ) ซึ่งแสดงอยู่ในรูปของตัวแปรไร้มิติ  $Nu$  เฉลี่ยทั้งท่อ โดยที่ค่าของ  $Nu$  จะแปรผันตรงกับค่าสัมประสิทธิ์การถ่ายเทความร้อน แต่จะแปรผกผันกับค่าการนำความร้อนของอากาศ ( $k$ ) และอุณหภูมิที่ผนังท่อ ซึ่งการคำนวณหาค่า  $Nu$  ใช้ความแตกต่างของอุณหภูมิเฉลี่ยที่ผนังท่อ  $T_{wa}$  กับอุณหภูมิของอากาศเข้า  $T_0$  โดยสามารถแสดงเป็นสมการได้ดังนี้

$$Nu = \frac{h_a b}{k} = \frac{q''}{T_{wa} - T_0} \frac{b}{k} \quad (2.5)$$

โดยที่

$$T_{wa} = \frac{1}{L_n} \int_0^{L_n} T_w(y) dy \quad (2.6)$$

ซึ่ง  $k$  เป็นค่าเฉลี่ยที่  $(T_{wa} - T_0)/2$

ในการเพิ่มการถ่ายเทความร้อน โดยวิธีธรรมชาติจากผนังท่อแบบแผ่นขนาน จากงานวิจัยการพาความร้อนในท่อแผ่นขนานที่ผันมาในอดีต พบว่าการติดปล่องแบบตรงแนวตั้งที่ด้านบนท่อจะทำให้มีการถ่ายเทความร้อนจากผนังท่อดีขึ้น ซึ่งได้ค่า  $Nu$  เพิ่มขึ้นจากกรณีท่อที่ไม่ได้

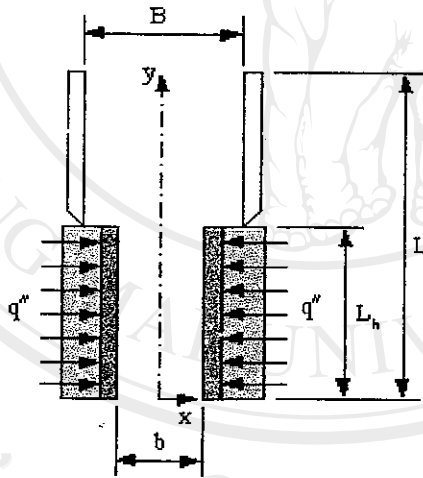
ตีปล่อง โดยงานวิจัยของ Straatman และคณะ (1993) และงานวิจัยของ Auletta และคณะ (2000) พบว่าค่า Nu จะเป็นฟังก์ชันของสัดส่วนความสูงทั้งหมดต่อความสูงของท่อ ( $L/L_h$ ) สัดส่วนความกว้างของปล่องต่อความกว้างของท่อ ( $B/b$ ) และตัวเลขเรย์ลีย์ (Rayleigh number, Ra)

$$Nu = f\left(Ra, \frac{L}{L_h}, \frac{B}{b}\right) \tag{2.7}$$

ซึ่ง Ra สามารถหาได้จากสมการดังนี้

$$Ra = Gr \frac{b}{L_h} Pr = \frac{g\beta q'' b^4}{v^2 k} \frac{b}{L_h} Pr \tag{2.8}$$

- โดยที่  $g$  คือ ค่าความโน้มถ่วง
- $\beta$  คือ สัมประสิทธิ์การขยายตัวเชิงปริมาตร
- $v$  คือ ความหนืดเชิงจลน์
- $L_h$  คือ ความยาวของท่อ
- Gr คือ ตัวเลขกราชอฟ (Grashof number)
- Pr คือ ตัวเลขพรันด์ทล์ (Prandtl number, Pr)



รูปที่ 2.3 ท่อตีปล่องแบบตรงแนวตั้ง

## 2.2 หลักการและทฤษฎีสำหรับการคำนวณทางระเบียบวิธีเชิงตัวเลข (Peter, 1997)

### 2.2.1 แบบจำลองของปัญหา

ในการวิเคราะห์ปัญหาทางระเบียบวิธีเชิงตัวเลขแบบไฟไนต์เอลิเมนต์สำหรับการศึกษาวิจัยนี้ได้ใช้เอลิเมนต์แบบสามเหลี่ยม 3 โหนดแบบเชิงเส้น วิเคราะห์ปัญหาเป็นแบบ 2 มิติ และมีข้อสมมุติฐานเกี่ยวกับของไหล (ในที่นี้คืออากาศ) และการวิเคราะห์ดังนี้

#### 2.2.1.1 อากาศถูกสมมุติให้เป็นของไหลตามทฤษฎีของนิวตัน (Newtonian Fluid)

2.2.1.2 ขอบเขตของบริเวณที่พิจารณา (Domain) ไม่มีการเปลี่ยนแปลงเมื่อเทียบกับเวลา

2.2.1.3 ลักษณะการไหลของอากาศเป็นแบบราบเรียบ ซึ่งพิจารณาด้วยค่าของตัวแปรไร้มิติคือตัวเลขเรย์โนลด์ส์ โดยที่การไหลจะเป็นแบบราบเรียบถ้า  $Re_b \leq 2300$  (Peter, 1997)

$$Re_b = \frac{\rho_a \bar{v} b}{\mu} \quad (2.9)$$

เมื่อ  $\rho_a$  คือ ความหนาแน่นเฉลี่ยของอากาศ

$\bar{v}$  คือ ความเร็วเฉลี่ย

$b$  คือ ขนาดเส้นผ่านศูนย์กลางท่อ

$\mu$  คือ ความหนืดสัมบูรณ์

2.2.1.4 อากาศไม่อัดตัว เนื่องจากการไหลของอากาศเป็นไปอย่างช้า ๆ เมื่อเปรียบเทียบกับความเร็วเสียง หรือ ค่ามัคคัมเบอร์ (Mach number, M) น้อยกว่า 0.3 (Peter, 1997)

$$M = \frac{|v|}{\sqrt{rRT}} \quad (2.10)$$

เมื่อ  $|v|$  คือ ขนาดความเร็วของอากาศในท่อ

$r$  คือ สัดส่วนความร้อนจำเพาะ ( $C_p/C_v$ )

$R$  คือ ค่าคงที่ของอากาศ (Universal Gas Constant)

$T$  คือ อุณหภูมิสัมบูรณ์ของอากาศ (Absolute temperature)

และในกรณีนี้ความสัมพันธ์ระหว่างความหนาแน่นกับความดัน (P) คือ

$$\frac{dp}{dP} = \frac{1}{z} \quad (2.11)$$

โดยกำหนดค่า  $z$  ไว้เท่ากับ  $10^{15}$

2.2.1.5 วิเคราะห์ปัญหาในกรณีเสถียรไม่ขึ้นอยู่กับเวลา (Steady state)

2.2.1.6 คุณสมบัติเหมือนกันทั้งเอติเมนต์ (Isotropic material properties)

2.2.1.7 ค่าความจุความร้อนคงที่

2.2.1.8 ไม่คิดผลที่เกิดจากการแผ่รังสีความร้อน

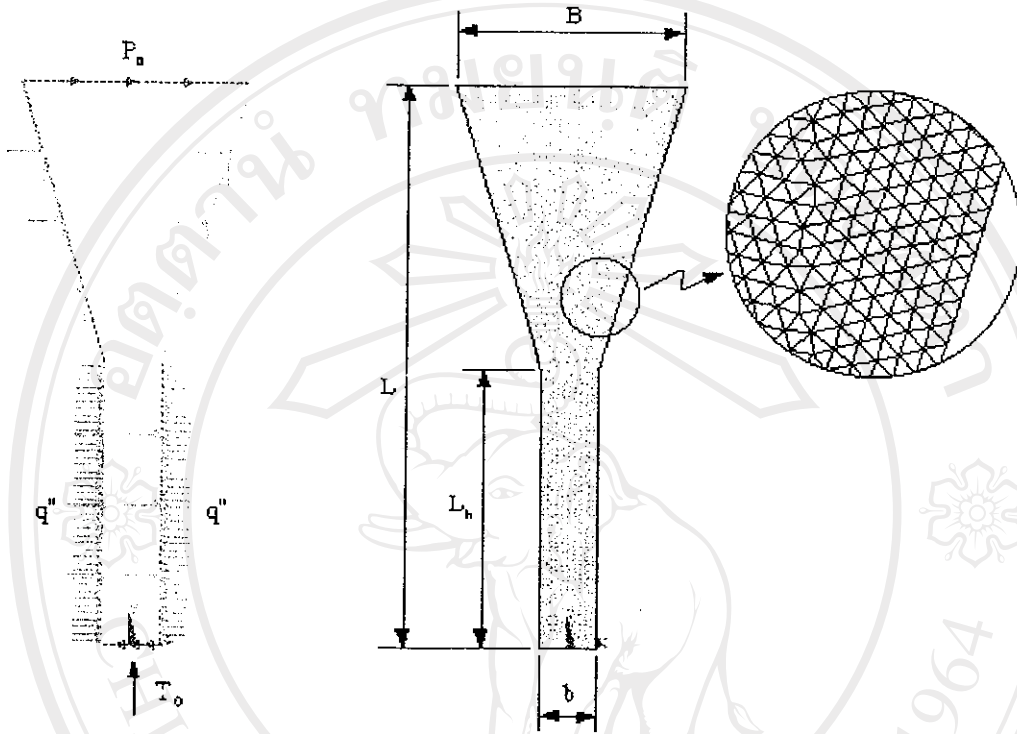
2.2.1.9 เงื่อนไขที่ขอบของปัญหาสำหรับการคำนวณทางระเบียบวิธีเชิงตัวเลข มี

ดังนี้

(1) ที่ผนังท่อได้รับความร้อน  $q''$  คงที่ ( $100 \text{ W/m}^2$  และ  $300 \text{ W/m}^2$ )

(2) อากาศที่อยู่ติดผนังท่อไม่มีการเคลื่อนที่

- (3) อากาศไหลเข้าท่อที่อุณหภูมิเท่ากับอุณหภูมิของสิ่งแวดล้อม (ใช้ค่า 298 K หรือ 24.85 °C)
- (4) ความดันของอากาศที่ทางออกมีค่าเท่ากับความดันของสิ่งแวดล้อม



รูปที่ 2.4 แบบจำลองสำหรับกรณีตีปัดแบบถ่าง

2.2.2 สมการและการคำนวณทางระเบียบวิธีเชิงตัวเลข

การคำนวณหาคำตอบโดยใช้วิธีทางระเบียบวิธีเชิงตัวเลขแบบไฟไนต์เอลิเมนต์ สำหรับการศึกษาวิจัยเกี่ยวกับการพาความร้อนโดยวิธีธรรมชาติในท่อแบบแผ่นขนาน ใช้หลักการอนุรักษ์ มวล โมเมนตัม และพลังงาน ในการพิจารณาถึงลักษณะการไหล และการกระจายของอุณหภูมิ ซึ่งมีสมการพื้นฐานดังนี้

สมการความต่อเนื่อง

$$\frac{\partial(\rho v_x)}{\partial x} + \frac{\partial(\rho v_y)}{\partial y} = 0 \tag{2.12}$$

สมการโมเมนตัม

$$\frac{\partial(\rho v_x v_x)}{\partial x} + \frac{\partial(\rho v_y v_x)}{\partial y} = -\frac{\partial P}{\partial x} + \frac{\partial}{\partial x} \left( \mu \frac{\partial v_x}{\partial x} \right) + \frac{\partial}{\partial y} \left( \mu \frac{\partial v_x}{\partial y} \right) \tag{2.13}$$



$$\frac{\partial(\rho v_x v_y)}{\partial x} + \frac{\partial(\rho v_y v_y)}{\partial y} = \rho g - \frac{\partial P}{\partial y} + \frac{\partial}{\partial x} \left( \mu \frac{\partial v_y}{\partial x} \right) + \frac{\partial}{\partial y} \left( \mu \frac{\partial v_y}{\partial y} \right) \quad (2.14)$$

สมการพลังงาน

$$\frac{\partial}{\partial x} (\rho v_x c_p T) + \frac{\partial}{\partial y} (\rho v_y c_p T) = \frac{\partial}{\partial x} \left( k \frac{\partial T}{\partial x} \right) + \frac{\partial}{\partial y} \left( k \frac{\partial T}{\partial y} \right) \quad (2.15)$$

โดยที่  $\rho$  คือ ความหนาแน่น

$v_x, v_y$  คือ ความเร็วตามแนวแกน x และ y ตามลำดับ

$g$  คือ ค่าความโน้มถ่วง

$c_p$  คือ ค่าความจุความร้อน

$k$  คือ ค่าการนำความร้อน

$T$  คือ อุณหภูมิ

จากสมการ โมเมนตัมและสมการพลังงานสามารถพิจารณาให้อยู่ในรูปสมการขนส่ง (Transport equation) ได้ ซึ่งประกอบด้วยเทอมการถ่ายเท (Advection) เทอมการแพร่ (Diffusion) และเทอม Source ในสมการขนส่งตัวแปรที่พิจารณาคือ  $\phi$  และแสดงเป็นสมการได้ดังนี้

$$\frac{\partial}{\partial x} (\rho v_x c_\phi \phi) + \frac{\partial}{\partial y} (\rho v_y c_\phi \phi) = \frac{\partial}{\partial x} \left( \Gamma_\phi \frac{\partial \phi}{\partial x} \right) + \frac{\partial}{\partial y} \left( \Gamma_\phi \frac{\partial \phi}{\partial y} \right) + S_\phi \quad (2.16)$$

โดยที่  $C_\phi$  คือ สัมประสิทธิ์การถ่ายเท (Advection coefficient)

$\Gamma_\phi$  คือ สัมประสิทธิ์การแพร่ (Diffusion coefficient)

$S_\phi$  คือ เทอม Source

ตาราง 2.1 การแทนตัวแปรในสมการขนส่ง

$\phi$ (DOF)	$C_\phi$	$\Gamma_\phi$	$S_\phi$
$v_x$	1	$\mu_c$	$-\partial P / \partial x$
$v_y$	1	$\mu_c$	$\rho g - \partial P / \partial y$
T	$C_p$	k	-

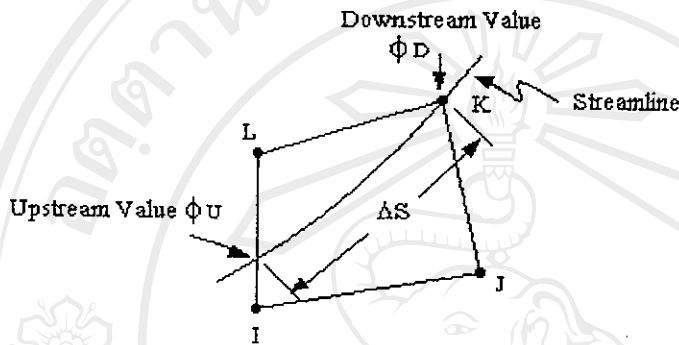
สมการ 2.15 เมื่อแสดงอยู่ในรูปทั่วไปของสมการเอลิเมนต์เมตริกซ์ จะมีรูปแบบสมการดังนี้

$$\left( A_e^{advection} \right) + \left( A_e^{diffusion} \right) \{ \phi_e \} = \{ S_e^\phi \} \quad (2.17)$$

ซึ่งใช้วิธีของ Galerkin ในรูปการอินทิเกรตและใช้สัญลักษณ์  $w^e$  แทนฟังก์ชันถ่วงน้ำหนัก (Weighting function) สำหรับเอลิเมนต์ จากสมการ 2.17 สามารถแยกพิจารณาได้สามเทอมดังนี้

(1) เทอมการถ่ายเท (Advection term)

เทอมการถ่ายเทสามารถพิจารณาด้วยคุณลักษณะของเส้นกระแสความเร็ว (Streamline velocities) โดยสมมติว่าการถ่ายเทจะเกิดขึ้นไปตามเส้นกระแสและไม่มีการส่งผ่านข้ามระหว่างเส้นกระแส



รูปที่ 2.5 เส้นกระแสการไหลผ่านโหนดด้านท้ายกระแส  
ที่มา : Peter(1997)

เมื่อสมมติให้

$$\frac{\partial(\rho v_x \phi)}{\partial x} + \frac{\partial(\rho v_y \phi)}{\partial y} = \frac{\partial(\rho v_s \phi)}{\partial s} \tag{2.18}$$

ดังนั้นจะได้

$$[A_e^{advection}] = \frac{d\rho v_s \phi}{ds} \int w^e d(vol) \tag{2.19}$$

สมการนี้ใช้กับทุก ๆ เอลิเมนต์ ซึ่งจะมีเพียงหนึ่งโหนดที่ได้รับผลจากข้างในเอลิเมนต์ สำหรับการคำนวณอนุพันธ์สามารถคำนวณได้โดยใช้ความแตกต่างคือ

$$\frac{d(\rho v_s)}{ds} = \frac{(\rho v_s \phi)_U - (\rho v_s \phi)_D}{\Delta s} \tag{2.20}$$

เมื่อ D แสดงถึงค่าที่ด้านท้ายกระแส

U แสดงถึงค่าที่ตำแหน่งเส้นกระแสเข้าเอลิเมนต์ผ่านโหนดด้านท้ายกระแส

$\Delta s$  ระยะทางจากจุดต้นกระแสถึงโหนดท้ายกระแส

ค่าที่ตำแหน่งต้นกระแสถูกแสดงในเทอมของโหนดที่อยู่ระหว่างเส้นกระแสซึ่งไม่ทราบค่า



## (2) เทอมการแพร่ (Diffusion terms)

เทอมนี้ได้จากการอินทิเกรตทั้งขอบเขตของปัญหาที่พิจารณาหลังจากคูณฟังก์ชันถ่วงน้ำหนัก ( $W^e$ ) ซึ่งจะได้ว่า

$$\text{Diffusion contribution} = \int W^e \frac{\partial}{\partial x} \left( \Gamma_\phi \frac{\partial \phi}{\partial x} \right) d(\text{vol}) + \int W^e \frac{\partial}{\partial y} \left( \Gamma_\phi \frac{\partial \phi}{\partial y} \right) d(\text{vol}) \quad (2.21)$$

เมื่อกำหนดให้  $\frac{\partial \phi}{\partial x} = \frac{\partial W^e}{\partial x} \phi$  และ  $\frac{\partial \phi}{\partial y} = \frac{\partial W^e}{\partial y} \phi$  จะได้เทอมการแพร่คือ

$$[A_e^{\text{diffusion}}] = \int \left( \frac{\partial W^e}{\partial x} \Gamma_\phi \frac{\partial W^e}{\partial x} + \frac{\partial W^e}{\partial y} \Gamma_\phi \frac{\partial W^e}{\partial y} \right) d(\text{vol}) \quad (2.22)$$

## (3) เทอม Source

เมื่อคูณฟังก์ชันถ่วงน้ำหนัก ( $W^e$ ) แล้วอินทิเกรตทั้งปริมาตรของเอลิเมนต์จะได้เทอม Source สำหรับเอลิเมนต์คือ

$$S_\phi^e = \int W^e S_\phi d(\text{vol}) \quad (2.23)$$

จากสมการ โมเมนต์สามารถเปลี่ยนให้อยู่ในรูปสมการความเร็ว โดยที่สัมประสิทธิ์เมตริกซ์ของสมการความเร็วประกอบด้วยเทอมการถ่ายเทและเทอมการแพร่ และแยกเทอมเกรเดียนต์ของความดันจากเทอม Source ซึ่งจะได้สมการความเร็วตามแนวแกน  $v_x$  และ  $v_y$  ดังนี้

$$Av_x = S_\phi - \sum_{p=1}^E W \left( \frac{\partial P}{\partial x} \right)^e d(\text{vol}) \quad (2.24)$$

$$Av_y = S_\phi - \sum_{p=1}^E W \left( \frac{\partial P}{\partial y} \right)^e d(\text{vol}) \quad (2.25)$$

เมื่อพิจารณาโดยรวมเอลิเมนต์ทั้งหมด องค์ประกอบของความเร็วที่แต่ละโหนดจะถูกแสดงในเทอมของความเร็ว บริเวณใกล้เคียง เทอม Source และความดันลด (Pressure drop) จากสมการ 2.24 และสมการ 2.25 สามารถแสดงอยู่ในรูปสมการความเร็วที่แต่ละโหนด  $i$  ได้ดังนี้

$$v_{xi} = \hat{v}_{xi} - \frac{1}{a_{ii}^x} \int W \left( \frac{\partial P}{\partial x} \right) d(\text{vol}) \quad (2.26)$$

$$v_{yi} = \hat{v}_{yi} - \frac{1}{a_{ii}^y} \int W \left( \frac{\partial P}{\partial y} \right) d(\text{vol}) \quad (2.27)$$

โดยที่

$$\dot{v}_{xi} = \frac{-\sum_{j \neq i} a_{ij}^x v_{xj} + S_x}{a_{ii}^x} \quad (2.27)$$

$$\dot{v}_{yi} = \frac{-\sum_{j \neq i} a_{ij}^y v_{yj} + S_y}{a_{ii}^y} \quad (2.28)$$

สำหรับ  $i = 1$  ถึง  $N$  ซึ่งมีทั้งหมด  $N$  โหนด และ  $a_{ij}$  แทนค่าในสัมประสิทธิ์เมตริกซ์ของสมการ โมเมนตัมสองสมการ

เมื่อพิจารณาที่เอลิเมนต์ จะได้สมการความเร็วซึ่งมีรูปแบบดังนี้

$$\dot{v}_x = \dot{v}_x - \frac{1}{a_{ii}^x} \int \left( W \frac{\partial W}{\partial x} \right) d(vol)^e [P]^e \quad (2.29)$$

$$\dot{v}_y = \dot{v}_y - \frac{1}{a_{ii}^y} \int \left( W \frac{\partial W}{\partial y} \right) d(vol)^e [P]^e \quad (2.30)$$

สมการ 2.29 และสมการ 2.30 จะใช้แทนความเร็วไม่ทราบค่าในสมการความต่อเนื่องซึ่งจะถูกเปลี่ยนให้อยู่ในรูปสมการความดัน จากสมการความต่อเนื่องกรณีของไหลไม่อัดตัว ซึ่งใช้วิธีของ Galerkin ในการอินทิเกรตหาคำตอบและกำหนดให้สัญลักษณ์ \* แทนค่าในการคำนวณครั้งก่อน จะได้สมการความดันของเอลิเมนต์คือ

$$\begin{aligned} [P]^e \int \left[ \frac{\partial W}{\partial x} \rho^* M_x \frac{\partial W}{\partial x} + \frac{\partial W}{\partial y} \rho^* M_y \frac{\partial W}{\partial y} \right] d(vol)^e \\ = \int \left[ \frac{\partial W}{\partial x} \rho^* \dot{v}_x + \frac{\partial W}{\partial y} \rho^* \dot{v}_y \right] d(vol)^e - \int W [p^* v_x]^s d(area)^s - \int W [p^* v_y]^s d(area)^s \end{aligned} \quad (2.31)$$

โดยที่

$$M_x = \frac{1}{a_{ii}^x} \sum_{p=1}^N W d(vol) \quad (2.32)$$

$$M_y = \frac{1}{a_{ii}^y} \sum_{p=1}^N W d(vol) \quad (2.33)$$

สำหรับการวิเคราะห์การไหลของความร้อนใช้หลักการอนุรักษ์พลังงาน โดยมีเงื่อนไขที่ขอบซึ่งสมมติว่าครอบคลุมเอลิเมนต์ทั้งหมด คือ

(1) มีการไหลของความร้อนกระทำกับพื้นผิว  $S_1$

$$\{q\}^T \{n\} = -q^* \quad (2.34)$$

โดยที่  $\{n\}$  คือ เวกเตอร์ตั้งฉากกับพื้นผิว (Unit outward normal vector)

$q^*$  คือ การไหลของความร้อนจำเพาะ (Specified heat flow)

(2) มีการพาความร้อนกระทำกับพื้นผิว  $S_2$  จากกฎการระบายความร้อนของ Newton (Newton's law of cooling) จะได้

$$\{q\}^T \{n\} = -h_f(T_B - T_S) \quad (2.35)$$

โดยที่  $h_f$  คือ สัมประสิทธิ์การถ่ายเทความร้อน (Heat transfer coefficient หรือ Film coefficient)

$T_B$  คือ อุณหภูมิเฉลี่ยของชั้นอากาศที่อยู่ถัดไป (Bulk temperature)

$T_S$  คือ อุณหภูมิพื้นผิวของแบบจำลอง

กำหนดให้เครื่องหมายลบหมายถึงความร้อนไหลออกจากพื้นผิว

จากสมการพลังงาน 2.14 เมื่อรวมเงื่อนไขข้างต้นแล้วอินทิเกรตทั้งปริมาตรของเอลิเมนต์และคูณด้วยการเปลี่ยนแปลงเสมือนของอุณหภูมิ  $\delta T$  จะได้สมการสำหรับวิเคราะห์การไหลของความร้อน ดังนี้

$$\int_{vol} \rho c_p \delta T \{v\}^T \{L\} T + \{L\}^T (\delta T) [D] \{L\} T \, d(vol) = \int_{S_1} \delta T q^* \, dS_1 + \int_{S_2} \delta T h_f (T_B - T) \, dS_2 \quad (2.36)$$

โดยที่  $\{v\} = \begin{Bmatrix} v_x \\ v_y \end{Bmatrix}$  = ความเร็ว

$[D] = \begin{bmatrix} K_{xx} & 0 \\ 0 & K_{yy} \end{bmatrix}$  = เมตริกซ์ค่าการนำความร้อน

$\{L\} = \begin{Bmatrix} \frac{\partial}{\partial x} \\ \frac{\partial}{\partial y} \end{Bmatrix}$  = โอเปอเรเตอร์ (Operator)

$T$  = อุณหภูมิของเอลิเมนต์

อุณหภูมิของเอลิเมนต์  $T$  ประกอบด้วยอุณหภูมิที่ โหนดและฟังก์ชันรูปร่าง คือ

$$T = \{N\}^T \{T_e\} \quad (2.37)$$

โดยที่  $\{N\} = \begin{Bmatrix} N_i \\ N_j \\ N_k \end{Bmatrix}$  = ฟังก์ชันรูปร่างของเอลิเมนต์ (Shape function)

$$\{T_e\} = \begin{Bmatrix} T_i \\ T_j \\ T_k \end{Bmatrix} = \text{อุณหภูมิที่โหนดของเอลิเมนต์}$$

สำหรับการเปลี่ยนแปลงเสมือนของอุณหภูมิ  $\delta T$  มีรูปแบบคล้ายกับอุณหภูมิของเอลิเมนต์  $T$  คือ

$$\delta T = \{\delta T_e\}^T \{N\} \tag{2.38}$$

กำหนดให้

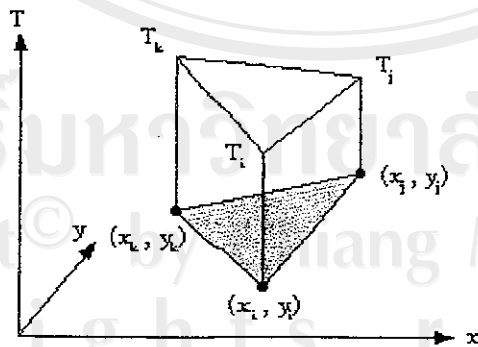
$$\{L\}T = [B]\{T_e\} \tag{2.39}$$

โดยที่  $[B] = \{L\}\{N\}^T$

เมื่อแทนสมการ 2.35 สมการ 2.36 และสมการ 2.37 ลงในสมการ 2.34 แล้วลดรูปของสมการซึ่งมี  $\{\delta T_e\}$  ทุกเทอม จะได้สมการซึ่งสมมติว่าความหนาแน่นและค่าความจุความร้อนคงที่ทั่วทั้งเอลิเมนต์ดังนี้

$$\begin{aligned} & \rho C_p \int_{vol} \{N\}\{N\}^T [B] d(vol) \{T_e\} + \int_{vol} [B]^T [D][B] d(vol) \{T_e\} \\ & = \int_{S_1} \{N\} h^* d(S_1) + \int_{S_2} T_B h_f \{N\} d(S_2) - \int_{S_2} h_f \{N\}\{N\}^T \{T_e\} d(S_2) \end{aligned} \tag{2.40}$$

สำหรับฟังก์ชันรูปร่าง (N) หรือฟังก์ชันถ่วงน้ำหนัก (W) กรณีเอลิเมนต์แบบสามเหลี่ยมสามโหนดที่ใช้ในการคำนวณทางระเบียบวิธีเชิงตัวเลขแบบไฟไนต์เอลิเมนต์ประกอบด้วยฟังก์ชันการประมาณที่แต่ละโหนดของเอลิเมนต์ พิจารณารูปที่ 2.5 ฟังก์ชันรูปร่างคือ (Saeed, 1999)



รูปที่ 2.5 เอลิเมนต์แบบสามเหลี่ยม

ที่มา : Saeed(1999)

$$\{N\} = \begin{Bmatrix} N_i \\ N_j \\ N_k \end{Bmatrix} \quad (2.41)$$

โดยที่

$$N_i = \frac{1}{2A}(\alpha_i + \beta_i x + \delta_i y) \quad (2.42a)$$

$$N_j = \frac{1}{2A}(\alpha_j + \beta_j x + \delta_j y) \quad (2.42b)$$

$$N_k = \frac{1}{2A}(\alpha_k + \beta_k x + \delta_k y) \quad (2.42c)$$

และ  $2A = x_i(y_j - y_k) + x_j(y_k - y_i) + x_k(y_i - y_j)$

$$\alpha_i = x_j y_k - x_k y_j \quad \beta_i = y_j - y_k \quad \delta_i = x_k - x_j$$

$$\alpha_j = x_k y_i - x_i y_k \quad \beta_j = y_k - y_i \quad \delta_j = x_i - x_k$$

$$\alpha_k = x_i y_j - x_j y_i \quad \beta_k = y_i - y_j \quad \delta_k = x_j - x_i$$

การตรวจสอบผลการเข้าสู่ค่าคอบของโปรแกรม

การตรวจสอบผลจะตรวจสอบผล โดยการเปรียบเทียบความแตกต่างของผลการ

คำนวณที่ได้ในครั้งปัจจุบัน k กับผลการคำนวณที่ได้ในครั้งก่อน k-1 ซึ่งแสดงเป็นสมการได้ดังนี้

$$\text{Conv Mon} = \frac{\sum_{i=1}^N |\phi_i^k - \phi_i^{k-1}|}{\sum_{i=1}^N |\phi_i^k|} \quad (2.43)$$

โดยที่ N = จำนวนทั้งหมดของไฟไนต์เอลิเมนต์โหนด

$\phi$  = องศาอิสระ (Degree of freedom)

จากหลักการ สมมุติฐาน และทฤษฎีที่ใช้ในการคำนวณทางระเบียบวิธีเชิงตัวเลขแบบ  
ไฟไนต์เอลิเมนต์ที่ได้กล่าวมาสามารถสรุปเป็นขั้นตอนในการคำนวณได้ดังนี้

